

小角散乱法によるナノ磁性体の磁気構造解析

物材機構、原子力機構^A、慶應理工^B
NIMS, JAEA, Keio Univ^B

大場洋次郎、篠原武尚^A、奥隆之^A、鈴木淳市^A、佐藤徹哉^B、大沼正人
Y. Oba, T. Shinohara^A, T. Oku^A, J. Suzuki^A, T. Sato^B, M. Ohnuma

Introduction

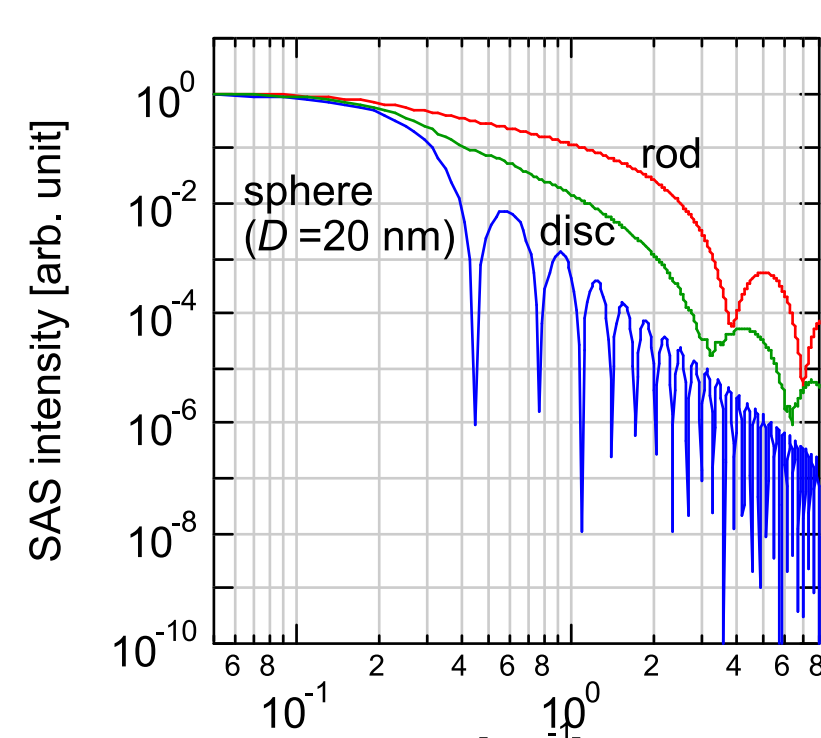
★ 中性子小角散乱(SANS)法

● 小角散乱法

○ ナノ組織、ナノ構造の解析に有用

○ $q \rightarrow 0.005-1 \text{ nm}^{-1}$ ($d \rightarrow 10-1000 \text{ nm}$, SANS-J-II)

ナノ粒子の大きさ、形状、内部構造



● X線小角散乱(SAXS) 電子による散乱

○ 中性子小角散乱 原子核による散乱
磁気モーメントによる散乱



→ ナノ粒子の磁気構造の観測

● 偏極中性子

$$\begin{aligned} \text{spin up } I_+ &= F_{\text{nuc}}^2 + 2F_{\text{nuc}}F_{\text{mag}} + F_{\text{mag}}^2 \\ \text{散乱強度 } &\text{核散乱 } \quad \text{干渉項 } \quad \text{磁気散乱} \\ \text{spin down } I_- &= F_{\text{nuc}}^2 - 2F_{\text{nuc}}F_{\text{mag}} + F_{\text{mag}}^2 \end{aligned}$$

多くの場合、核散乱>磁気散乱
偏極中性子の使用により、
磁気散乱を高精度で観測できる

Experiment

★ 試料作製

● 清浄な試料→ガス中蒸発法

作製条件	
高純度Pdパウダー (99.998 %)	
超高真空 ($2 \times 10^{-9} \text{ Torr}$)	
高純度Arガス (99.999 %)	
ガス純化器 ($\text{H}_2\text{O}, \text{H}_2$, and $\text{O}_2 \leq 1 \text{ ppb}$)	

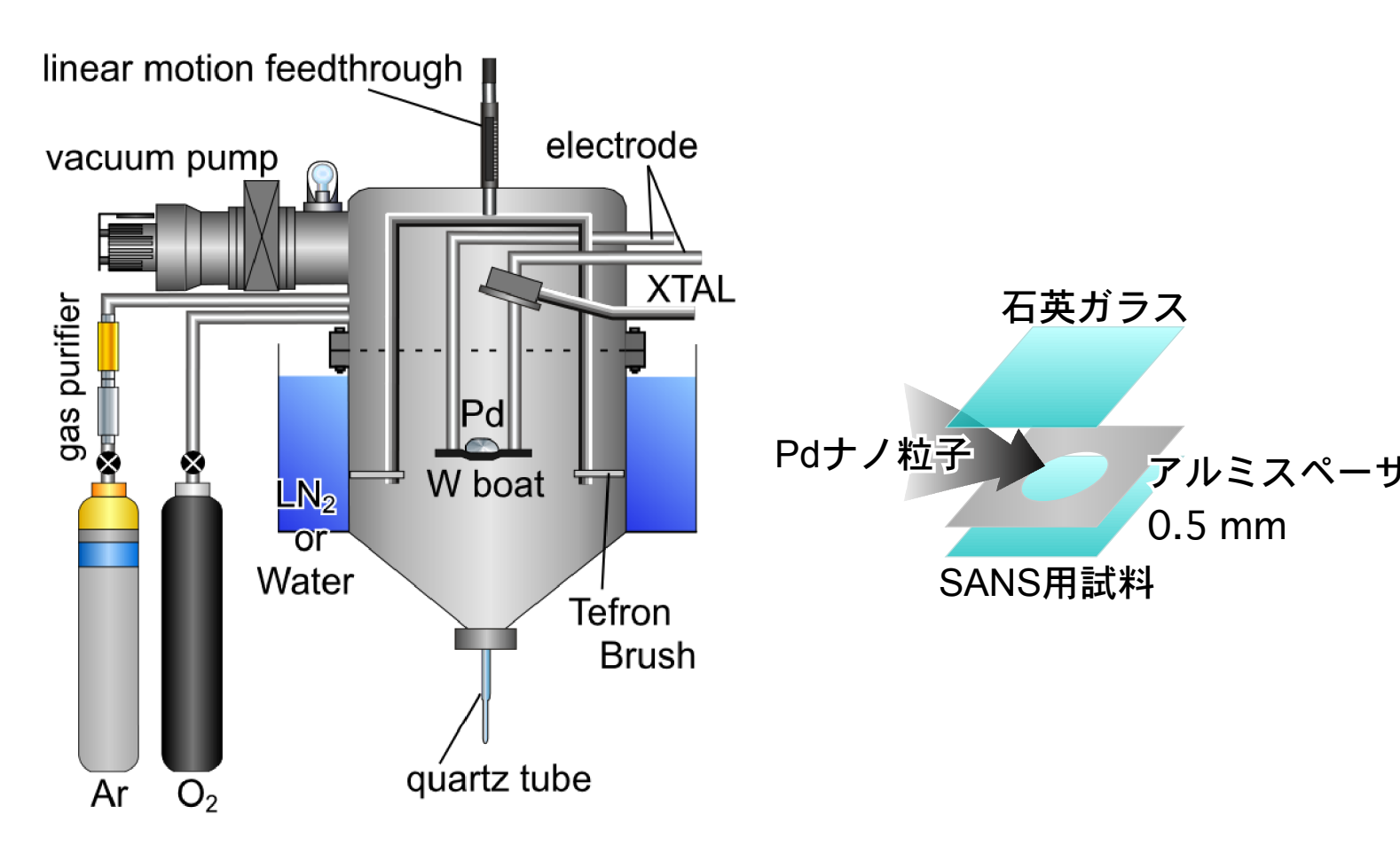


Fig. ガス中蒸発装置.

● 大気に曝し、表面の強磁性を消失させたナノ粒子を用いて、
内部の強磁性のみを観察

Results & Discussion

★ SANS測定結果

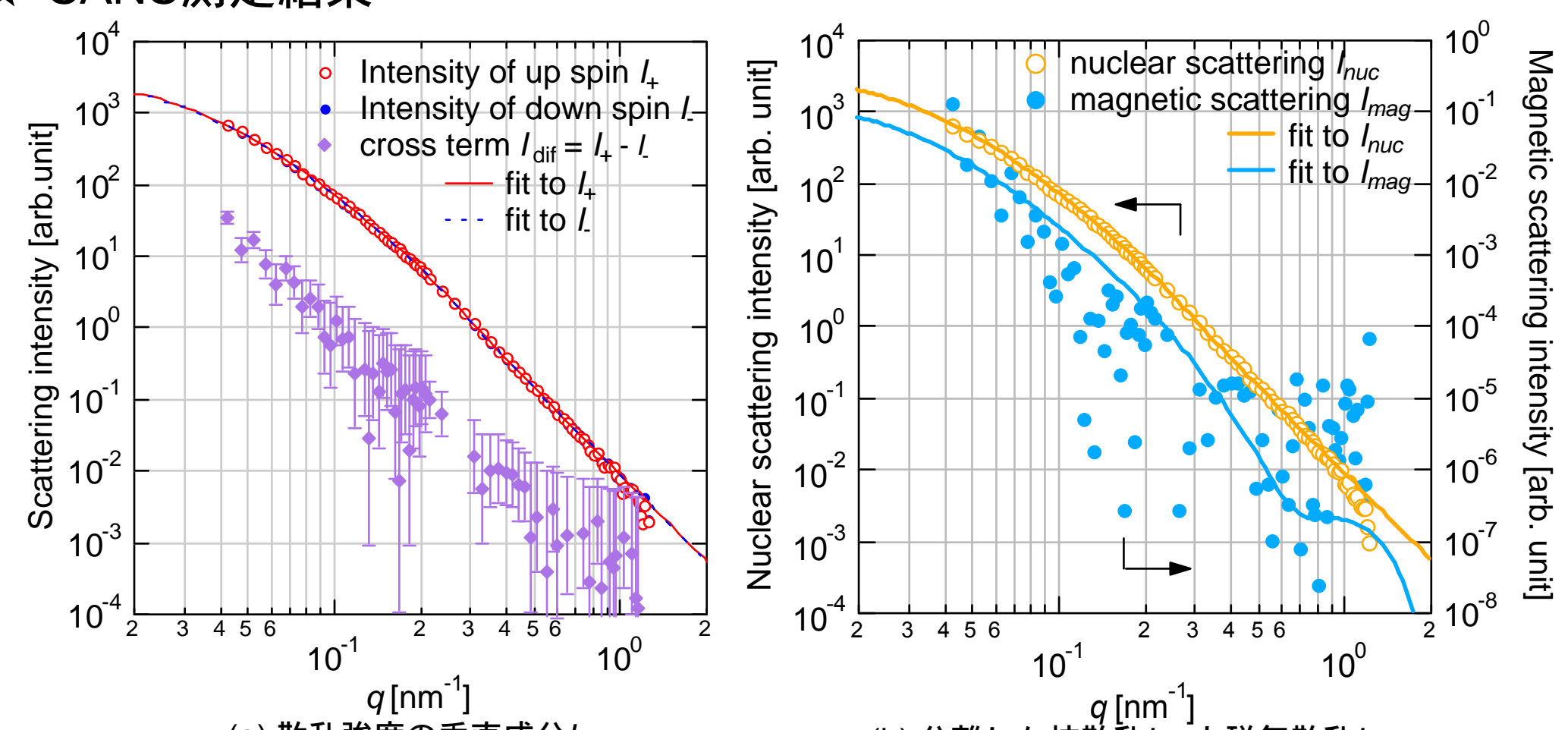


Fig. SANSプロファイル.

- 磁場と垂直方向の正、負極中性子の散乱に差→磁気散乱
- 核散乱は球状粒子の特徴
- 磁気散乱は核散乱と異なるプロファイル→粒子内の磁化が一様でない

★ モデルフィッティングによる解析

- ★ 核散乱は一様な球状粒子
- ★ 粒子表面の強磁性(酸素により消失)と粒子内部の強磁性→磁気散乱はコア-シェル構造
- ★ 確認のため、コアの磁化>シェルの磁化とは仮定しなかった
- ★ シェル厚さは一定
- ★ 粒径分布は対数正規分布
- ★ 粒子間相関はlocal monodisperse approximationモデル[4]

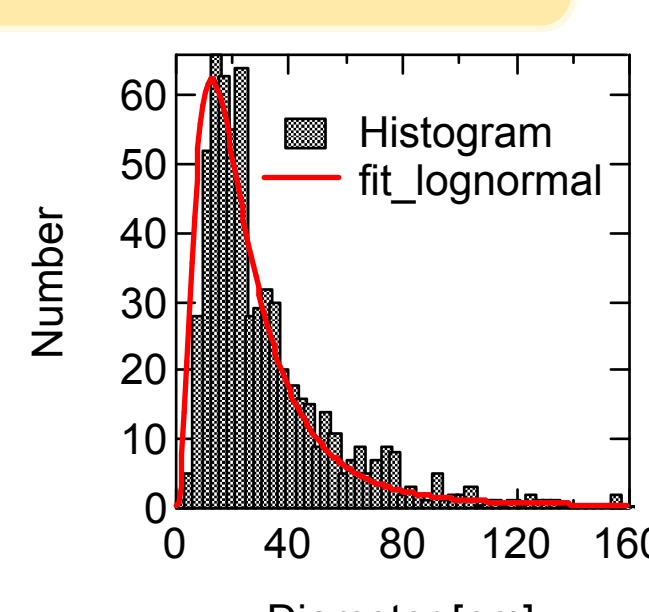
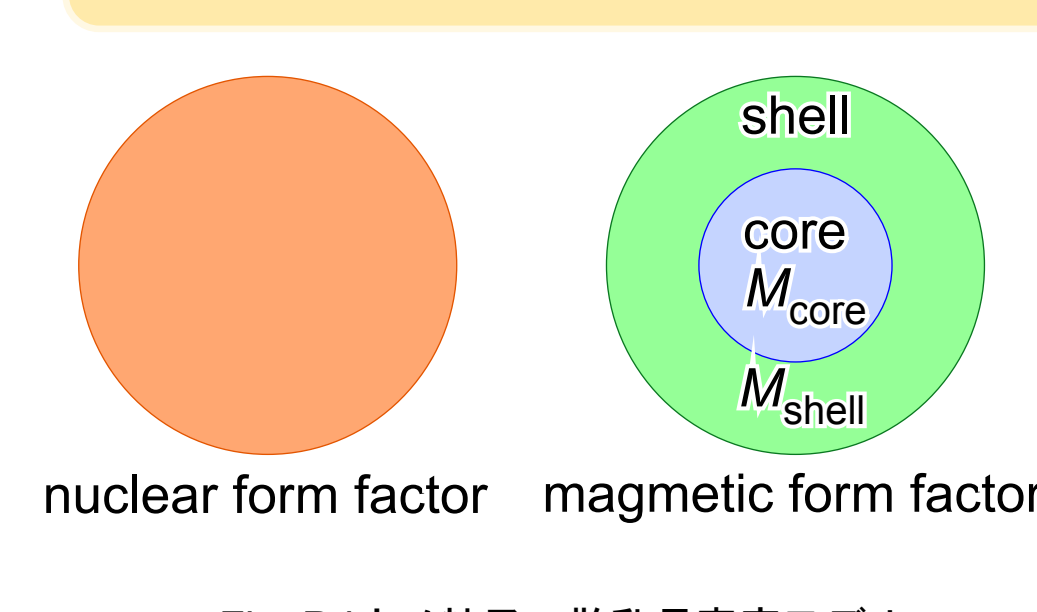


Fig. Pdナノ粒子の散乱長密度モデル.

Fig. Pdナノ粒子の粒径分布.

★ SANS測定

● SANS-J-II (原子力機構 JRR-3M)

● 波長0.65 nm (FWHM=13%) の入射中性子

● スーパーミラー偏極子、RFスピンフリッパーを使用(偏極効率=0.99)

● 試料の冷却、磁場印加 (5K, 5 T)

● 試料一検出器間距離は2.2 mと10 m($q=0.04-2 \text{ nm}^{-1}$)

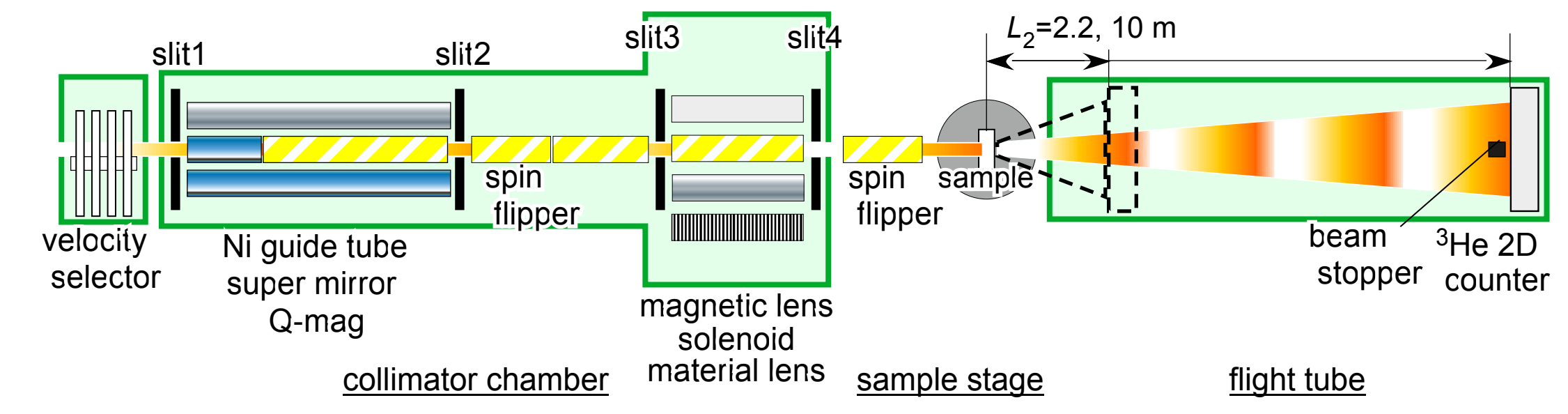


Fig. SANS-J-II.

★ 解析結果

- ★ 平均粒径および標準偏差 ----- 19.8 nm, 14.1 nm
TEM観察による値 ----- 16.3 nm, 5.4 nm
 - ★ シェル(表面領域)厚さ ----- 4.8 ± 4.1 nm
 - ★ 磁気モーメント: コア M_{core} ----- $0.012 \pm 0.003 \mu_B/\text{atom}$
シェル M_{shell} ----- $0.003 \pm 0.007 \mu_B/\text{atom}$
- コアのみが強磁性と考えると、飽和磁化 $M'_{\text{core}} = 0.006 \pm 0.003 \mu_B/\text{atom}$
SQUID磁力計で得られた飽和磁化 $M_{\text{SQUID}} = 0.0051 \pm 0.0003 \mu_B/\text{atom}$
SQUID磁力計の値に近い

磁化の大きなコアと磁化の小さなシェル
から成るコア-シェル構造

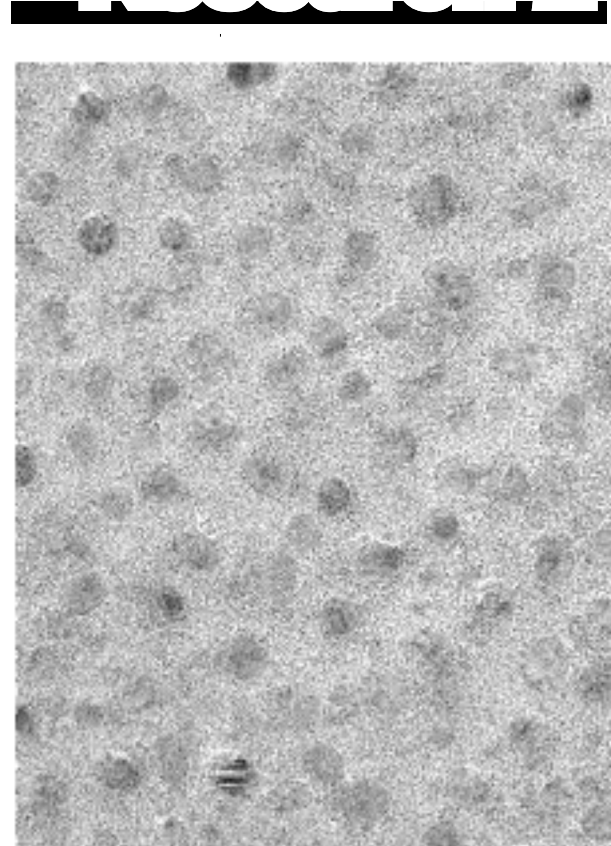
- ★ コアは、ひずみを起源とする粒子内部の強磁性領域
シェルは表面の強磁性が消失した領域

Research 2

★ $\text{Co}_x(\text{Nb}_2\text{O}_5)_{100-x}$ ナノグラニュラー薄膜

- Co粒子の磁気特性
(Nb_2O_5)マトリックスの電気特性
- 粒子-マトリックス界面における相互作用

複合機能性の発現



小角散乱によるナノ構造解析

Experiment

★ 試料作製&評価

Table 各試料の厚さと組成.

● 反応性スパッタ法

sample | Co (at.%) | t_{sample} (μm)

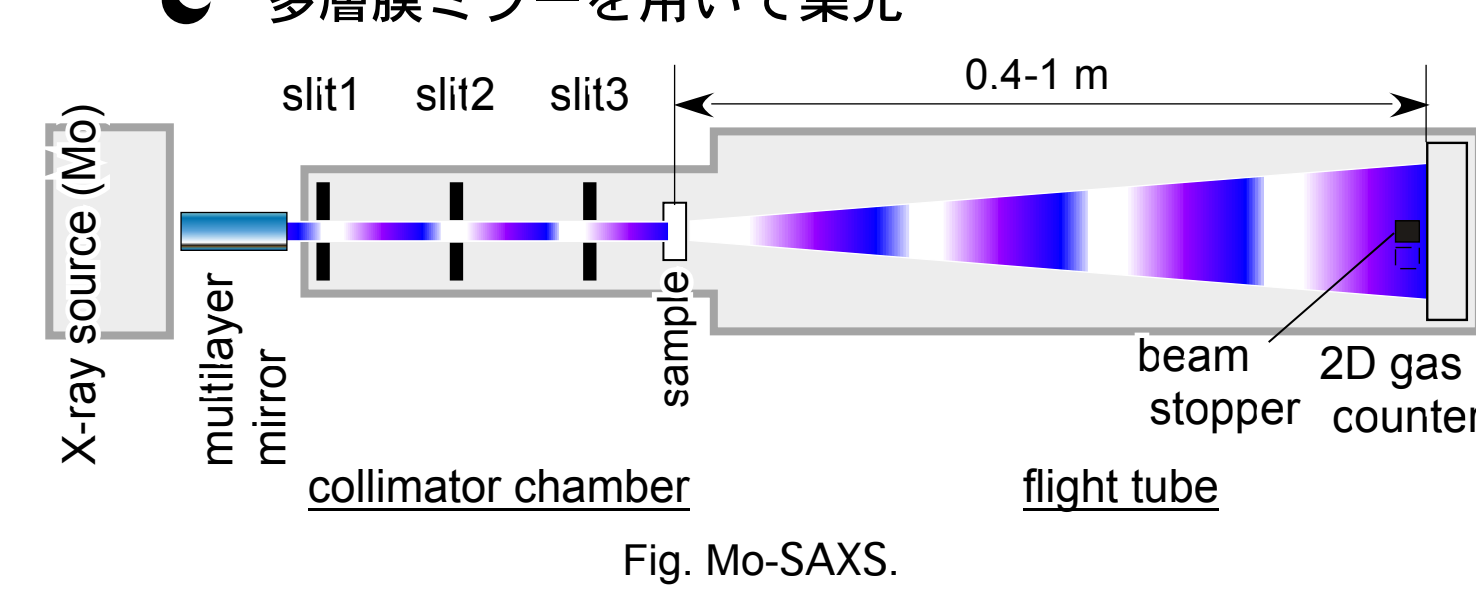
● Dektakによる膜厚測定

1 46.1 1.31
2 43.2 1.24
3 39.5 1.33
4 37.9 1.16
5 26.8 1.15
6 17.8 0.90
7 10.1 1.41
8 0.0 0.89
#7059 0.0 0

● EDS, WDSによる組成分析

SAXS測定

- Mo-Kα → 比較的高い透過率、Fe, Coも測定可能
- 多層膜ミラーを用いて集光



Results & Discussion

★ Co濃度の高い試料においてピークが観測された

★ ピーク→粒子間相関の効果
粒子が生成、比較的密に粒子が存在

★ Co濃度の低い試料においては不明瞭な散乱のみ

★ ピークのえた試料のみ解析

★ モデルフィッティングによる解析

- ★ 一様な球状粒子
- ★ 粒径分布は対数正規分布
- ★ 粒子間相関はlocal monodisperse approximation[4]
- ★ フラットなバックグラウンド→マトリックスによる散乱

$$I_{\text{sample}}(q) = \Delta\rho^2 d_N \int_0^\infty [V(r)F(q,r)]^2 N(r)S(q,r)dr$$

★ Co粒子と(Nb_2O_5)マトリックスの $\Delta\rho$ を仮定して d_N を算出

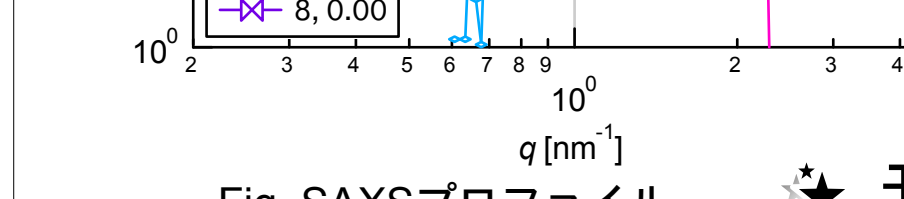


Fig. SAXSプロファイル.

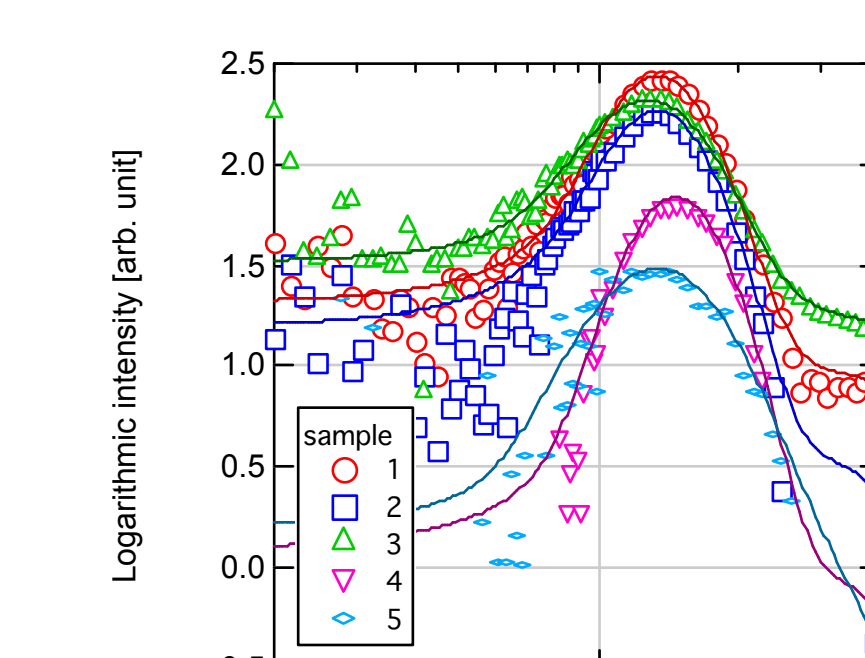


Fig. フィッティング曲線.

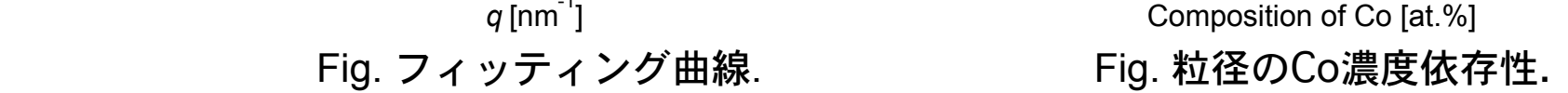


Fig. 粒径のCo濃度依存性.

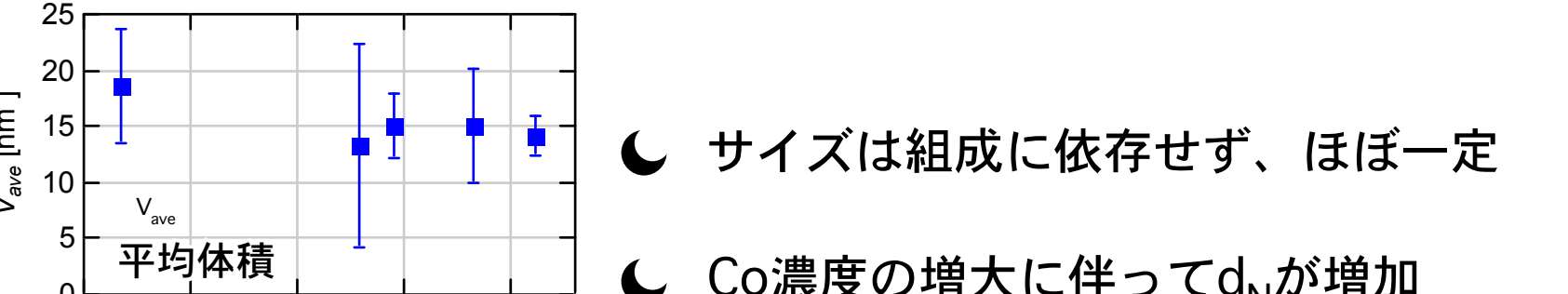


Fig. d_N vs composition of Co [at. %].

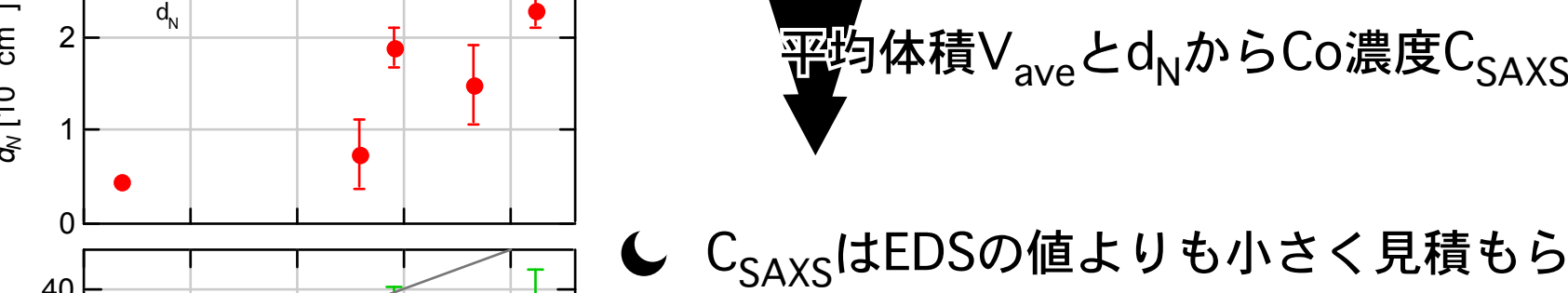


Fig. C_SAXS vs composition of Co [at. %].

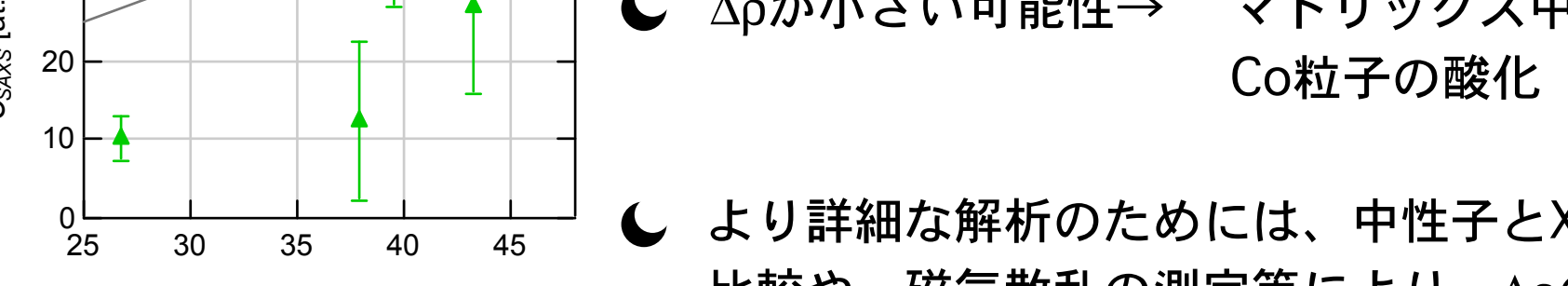


Fig. V_ave, d_N, C_SAXS vs composition of Co [at. %].

Summary

偏極中性子を用いたSANS実験は、磁気構造を調べるために強力な実験手法である。SANS実験により、Pdナノ粒子内部の磁気構造はコア-シェルモデルで説明され、磁化の大きなコアと、磁化の小さいシェルから成ることが分かった。 $\text{Co}_x(\text{Nb}_2\text{O}_5)_{100-x}$ ナノグラニュラーのSAXS実験より、Co濃度の増大に伴ってCo粒子数が増加することが示唆された。より詳細な解析には、SANS測定が必要である。

Reference

- [1] T. Shinohara, T. Sato, and T. Taniyama, Phys. Rev. Lett. **91**, 197201 (2003).
- [2] T. Shinohara, T. Sato, and T. Taniyama, J. Magn. Magn. Mater. **272-276**, e1181 (2004).
- [3] Y. Oba, T. Sato, and T. Shinohara, Phys. Rev. B **78**, 224417 (2008).
- [4] J. S. Pedersen, J. Appl. Cryst. **27**, 595 (1994).